

## درون‌یابی داده‌های لرزه‌ای با مجموعه‌ای از تابع‌های منظم‌ساز جدید

برهان توکلی<sup>۱\*</sup>، علی غلامی<sup>۲</sup> و حمیدرضا سیاه‌کوهی<sup>۳</sup>

<sup>۱</sup>کارشناس ارشد ژئوفیزیک، لرزه‌شناسی، گروه فیزیک زمین، موسسه ژئوفیزیک دانشگاه تهران، ایران

<sup>۲</sup>استادیار، گروه فیزیک زمین، موسسه ژئوفیزیک دانشگاه تهران، ایران

<sup>۳</sup>استاد، گروه فیزیک زمین، موسسه ژئوفیزیک دانشگاه تهران، ایران

(دریافت: ۹۲/۱/۳۱، پذیرش نهایی: ۹۲/۱۱/۱۵)

### چکیده

در عملیات لرزه اکتشافی اغلب به علت وجود موانع طبیعی، غیرطبیعی و یا صرفه‌جویی در هزینه‌ها، برداشت داده به‌صورت منظم و یک شکل صورت نمی‌گیرد. بنابراین، نیازمندیم تا با روش‌های ریاضی ردلرزه‌های مفقود شده را درون‌یابی و بازسازی کنیم. متأسفانه بسیاری از روش‌های امروزی در پر کردن درست و دقیق مکان ردلرزه‌های خالی ناتوان هستند. در سال‌های اخیر نظریه نمونه‌برداری فشرده در حل مسئله درون‌یابی و بازسازی داده‌های لرزه‌ای بسیار کارآمد ظاهر شده است. براساس این نظریه می‌توان ثبت‌های لرزه‌ای چشمه مشترک را در یک حوزه تنگ مناسب (برای مثال حوزه کرولت) و با یک معادله بهینه‌سازی، بازسازی و درون‌یابی کرد. در این مقاله از مجموعه‌ای از تابع‌های پتانسیل برای حل مسئله به کمک نظریه نمونه‌برداری فشرده بهره می‌بریم. علاوه بر این روشی نیز برای تعیین پارامتر منظم‌سازی در این گونه مسائل معرفی خواهیم کرد. سپس نتایج را با تابع‌های پتانسیل متفاوت و مرسوم مقایسه می‌کنیم و در انتها بهترین و بهینه‌ترین تابع پتانسیل که منجر به جواب‌های دقیق‌تر می‌شود معرفی خواهد شد.

واژه‌های کلیدی: بازسازی و درون‌یابی لرزه‌ای، نمونه‌برداری فشرده، تنگی، تبدیل کرولت

## Seismic data interpolation via a series of new regularizing functions

Tavakoli, B.<sup>1</sup>, Gholami, A.<sup>2</sup> and SiahKoochi, H. R.<sup>3</sup>

<sup>1</sup>M.Sc. in Geophysics, Department of Earth Physics, Institute of Geophysics, University of Tehran, Iran

<sup>2</sup>Assistant Professor, Department of Earth Physics, Institute of Geophysics, University of Tehran, Iran

<sup>3</sup>Professor, Department of Earth Physics, Institute of Geophysics, University of Tehran, Iran

(Received: 20 Apr 2013, Accepted: 04 Feb 2014)

### Summary

Natural signals are continues, therefore, digitizing is an essential task enabling us to use computing tools to process them. According to the Nyquist/Shannon sampling theory, the sampling frequency must be at least twice the maximum frequency contained in the signal which is being sampled; otherwise, some high frequencies may be aliased and result in a bad reconstruction. The Nyquist sampling rate makes it possible to reconstruct the original signal exactly from its acquired samples.

To enhance the efficiency of sampling process, a procedure is to use a high sampling rate. But the huge volume of generated data by this approach is a major challenge in many fields, like seismic exploration, and moreover, sometimes the sampling equipment cannot handle the broad frequency band.

Seismic data acquisition includes sampling in time and spatial directions of a waveform that is generated by some sources like dynamite. Sampling should be done according to a regular pattern of receivers. Nevertheless, generally due to some

acquisition obstacles seismic data sets are irregularly sampled in spatial direction(s). This irregularity causes a low quality seismic images that contain artifacts and missing traces.

One of the approaches that have been developed to deal with this defect is interpolation of the acquired data according to a regular grid. Through the interpolation we can achieve an estimation of the fully sampled desired signal. This approach can also be as a tool to design an acquisition geometry which is sparser and results in more cost effective survey.

Compressive sensing (CS) theory has been developed helping us to sample data below Nyquist sampling rate while being able to reconstruct them by considering the solution of an optimization problem. This theory claims that the signals/images that can be presented sparsely under a pre-specified basis or frame can be reconstructed accurately from a few numbers of its samples. The principle of the CS is based on the Tikhonov regularization like equation (eq. 1) which utilizes sparsifying regularization terms. In equation (1), the CS sampling operator,  $A = SMC^{-1}$ , contains three elements: (i) a sparsifying transform  $C$  which provides a sparse presentation of signals/images according to the used basis, (ii) measurement matrix  $M$  which for seismic issue is identity matrix, and (iii) under sampling operator  $S$  which is incoherent with sparsifying operator  $C$ .

Curvelet transform contains a frame set whose elements have a great correlation with curve-like reflection events presented in seismic data and can provide a sparse presentation of seismic images. The under sampling scheme used in this paper is Jitter that allows controlling the maximum gap size between known traces. Another commonly used under sampling scheme is Gaussian random or binary random. Since under sampling appearance in frequency domain is a Gaussian random noise, the interpolation problem can be treated as a nonlinear de-noising problem. Curvelet frames are an optimal choice for this purpose.

The sparsity regularization plays a leading role in CS theory. This approach has also been effectively applied on other problems like de-noising and de-convolution. There are a wide range of functions that can impose sparsity in regularization equation. The performance of these functions to interpolate an incomplete data is related to their ability in coherency with initial model properties. There are a variety of potential functions and the  $l_1$ -norm is the well-known and commonly used of them. But still a comprehensive study to find out which of them is more efficient for seismic image reconstruction is necessary. This defect is because of absence of a general potential function. Here we use a general potential function which enables us to compare the efficiency of a wide range of potential functions and find the optimum one for our problem. This regularization function includes  $l_p$ -norm functions and others as its especial cases which are presented in Table 1. This general function covers both convex and non-convex regularization functions. In this paper we use the potential function to compare the efficiency of different approaches in CS algorithm.

Through solving regularization problems a controversial part is setting the best regularization parameter,  $\tau \in R^+$ . Here due to redundancy of curvelet transform, assigning a proper parameter will face some difficulties. Many approaches like *L-curve*, *Stain's unbiased risk estimate (SURE)*, and *generalized cross validation (GCV)*, face some difficulties in finding this parameter. Therefore, we inclined to use some nonlinear approaches, such as *NGCV (Nonlinear GCV)* and *WSURE (Weighted SURE)*.

The efficiency of the mentioned methods for estimating regularization parameter and choosing the best potential function is evaluated by considering a synthetic noisy seismic image. By under-sampling this image and removing more than 60% of its traces, the initial/observed model will be reconstructed. This imperfect image serves as our acquired seismic data. In solving equation (1) we use a forward-backward splitting recursion

algorithm. Finally through this algorithm we could reach the optimum potential function and a method to estimate the regularization parameter.

**Keywords:** Seismic data interpolation/reconstruction, Compressive sensing, Sparsity, Curvelet transform

## ۱ مقدمه

در طبیعت بسیاری از سیگنال‌ها پیوسته‌اند و برای اینکه بتوان آنها را با رایانه و دیگر وسایل الکترونیکی پردازش کرد بایستی آنها را از حالت مانسته و پیوسته به رقمی تبدیل کرد. بدین منظور سیگنال مدنظر را با فواصل منظم نمونه‌برداری می‌کنیم، به گونه‌ای که با کنار هم گذاشتن نمونه‌ها به تقریب قابل قبولی از سیگنال اولیه برسیم. این نمونه‌برداری طبق نظریه شانون نایکویست (Nyquist-Shannon) بایستی با بسامدی که حداقل دو برابر بزرگ‌ترین بسامد سیگنال اولیه است، صورت گیرد تا بتوان با کنار هم گذاشتن نمونه‌های برداشت شده عیناً به سیگنال اولیه دست یافت. در برداشت یک ثبت لرزه‌ای (در این نوشتار منظور از ثبت لرزه ای، ثبت چشمه مشترک است) هدف دریافت شکل موجی است که از مواد منفجره یا ویراتور در زمین منتشر می‌شود و گیرنده‌هایی که روی زمین قرار داده می‌شوند نقش نمونه‌بردار را دارند. بنابراین طبق نظریه شانون نایکویست اگر چیدمان گیرنده‌ها از نظم پیش‌گفته پیروی نکند ثبت به‌دست آمده و بازسازی شده از این نمونه‌برداری ثبتی است که شامل رخدادهای غیر واقعی فراوانی است. علت این امر، ظهور پدیده دگرنامی است. در عمل، به علت وجود موانعی مانند رودخانه‌ها، سازه‌های بشری و مانند آن دست‌یابی به این نظم در برداشت‌های لرزه‌ای ممکن نیست و گاهی نیز این رعایت نظم نیازمند استفاده از تعداد زیادی گیرنده است که این موضوع صرفه اقتصادی ندارد. در این شرایط است که نیاز به روش‌های درون‌یابی داده‌های لرزه‌ای برای بازسازی ردلرزه‌های برداشت نشده، احساس می‌شود.

تا به امروز روش‌های بسیاری برای درون‌یابی معرفی شده‌اند که آنها را می‌توان به سه دسته تقسیم کرد: ۱- روش‌های بر مبنای عملگرهای شبه‌مهاجرت (استوس و فومل، ۱۹۹۳؛ اسکواب، ۱۹۹۳)، ۲- روش‌های بر پایه فرمول‌بندی مسئله درون‌یابی با الگوریتم‌های تکرار شونده (کلرپوت، ۱۹۹۲؛ اسپیتز، ۱۹۹۱) و ۳- روش‌های بر پایه تبدیلات خاص مانند فوریه و مانند آن (ساشی و آلریچ، ۱۹۹۶؛ دویجندام و اسکونیویل، ۱۹۹۹). ولی این روش‌ها به علت وابستگی به پارامترهای زمین مثل سرعت لایه‌ها و نظیر آن، همیشه جواب مناسبی ندارند. امروزه با معرفی نظریه نمونه‌برداری فشرده این مشکلات تا حدی برطرف شده است.

## ۲ روش‌شناسی

### ۱-۲ نظریه نمونه‌برداری فشرده

نظریه نمونه‌برداری فشرده (Compressive Sensing) بر خلاف نظریه شانون نایکویست، الزامی برای نمونه‌برداری منظم از یک سیگنال یا تصویر ندارد. طبق این نظریه اگر یک سیگنال یا تصویر تحت تبدیل خاصی دارای تعداد اندکی ضریب غیر صفر باشد، یا به بیان دیگر تُنک (Sparse) باشد، می‌توان با تعداد کمی از این ضرایب سیگنال اولیه را با تقریب خوبی بازسازی کرد. این نظریه بر مبنای حل یک معادله بهینه‌سازی حاصل می‌شود:

$$\hat{x}(\tau) = \arg \min_x \|Ax - y\|_2^2 + \tau \sum_i \varphi(x_i) \quad (1)$$

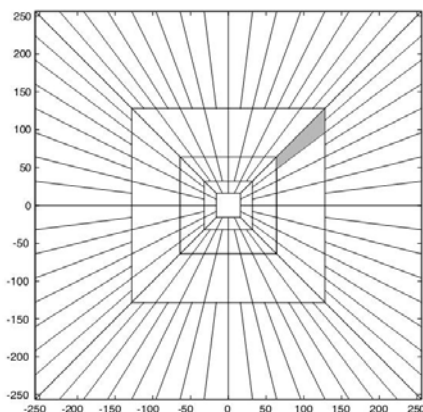
که در اینجا، سمت چپ معادله،  $\hat{x} \in R^{n \times 1}$  مدل برآورد

برداشت‌های چشمه مشترک و نقطه میانی مشترک، تبدیل کرولت (Curvelet) (کندس و همکاران، ۲۰۰۵؛ استارک و همکاران، ۲۰۰۲) برای نیل به این هدف، بسیار مناسب است. بنابراین در عمل، عملگر  $A$  را می‌توان به صورت  $A = SC^{-1}$  معرفی کرد که  $S$  عملگر نمونه‌بردار و  $C$  نماینده تبدیل کرولت است.

ضرایب تبدیل کرولت حاصل ضرب داخلی کرولت‌ها با ثبت لرزه‌ای‌اند و همه کرولت‌ها در مقیاس  $2^{-j}$  با انتقال و چرخش یک کرولت مادر  $\Psi_j$  حاصل می‌شوند. کرولت‌ها با پنجره‌بندی صفحه زمان-بسامد در راستای شعاع و زاویه به دست می‌آیند. هر تکه بیانگر یک کرولت است (شکل ۱).

جدول ۱. مثال‌هایی از تابع‌های پتانسیل پُرکاربرد به دست آمده از مقداردهی تابع پتانسیل کلی.

p	q	نمایش تابع پتانسیل $\varphi_q^p(x)$
1	-1	$ x $
2	0	$\ln(x^2 + 1)$
2	1	$\frac{x^2}{x^2 + 1}$
1	1	$\frac{ x }{ x  + 1}$



شکل ۱. پنجره‌بندی صفحه بسامد برای به دست آوردن کرولت‌ها. قسمت تیره‌رنگ معادل یک کرولت است.

برای سیگنال،  $y \in R^{m \times l}$  داده برداشت شده در عملیات و  $A \in R^{m \times n}$  عملگری است که شامل عملگرهای نمونه‌بردار و تُنک‌کننده است. تابع  $\varphi$  تابع پتانسیل و  $\tau \in R^+$  پارامتر منظم‌ساز خوانده می‌شود.  $\chi \in R^{m \times l}$  نیز سیگنال مطلوب ما است که از آن نمونه‌برداری می‌کنیم. در اینجا همواره  $m < n$  است که این موضوع مسئله درونیابی را به یک مسئله فرومعین (underdetermined) تبدیل می‌کند (غلامی، ۱۳۸۸).

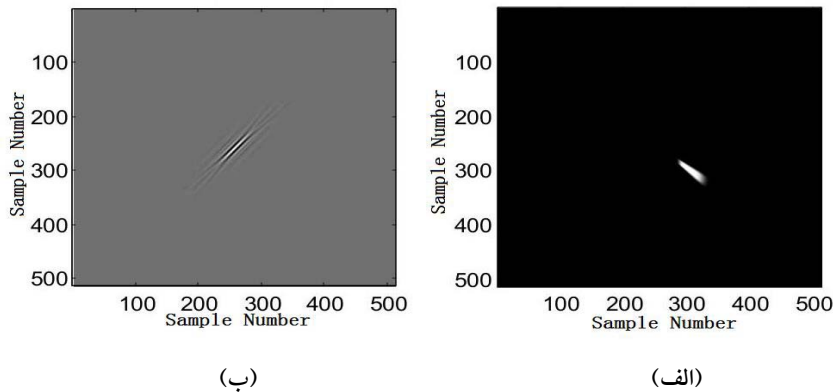
برای حل این مسئله از تابع‌های پتانسیل متفاوتی استفاده می‌شود که از مهم‌ترین و پُرکاربردترین آنها می‌توان به موارد ذکر شده در جدول ۱ اشاره کرد. تابع‌های پیش‌گفته هر کدام معایب و مزایایی دارند و نیاز به بررسی جامع برای معرفی بهترین و مناسب‌ترین تابع پتانسیل احساس می‌شود. برای دست‌یابی به این هدف از یک تابع پتانسیل جدید (غلامی و حسینی، ۲۰۱۱) بهره می‌بریم که به صورت رابطه (۲) است:

$$\varphi_q^p(x) = \begin{cases} \frac{1}{q}(1 - (|x|^p + 1)^{-q}) & \text{if } q \neq 0 \\ \ln(|x|^p + 1) & \text{if } q = 0 \end{cases} \quad (2)$$

که در اینجا،  $p \in (0, 2]$ ،  $q \in [-1, +\infty)$  و  $x \in R$  است. همان‌گونه که در جدول ۱ می‌بینیم این تابع کلی، برای مقادیر تعریف شده  $(p, q)$  به تابع‌های متفاوتی تبدیل می‌شود. اکنون با این تابع کلی می‌توان بازسازی و درونیابی را برحسب طیف وسیعی از تابع‌های پتانسیل عملی ساخت.

## ۲-۲ تبدیل تُنک‌کننده: کرولت

همان‌گونه که در بخش قبل توضیح داده شد، در فرایند بازسازی و درونیابی یک ثبت لرزه‌ای براساس نظریه نمونه‌برداری فشرده نیازمند تُنک کردن سیگنال ورودی به الگوریتم هستیم. با توجه به ماهیت سیگنال‌های لرزه‌ای و هذلولی بودن رویدادهای موجود در ثبت‌های لرزه‌ای در



شکل ۲. (الف) نمایش کرولت  $\Psi_{4,16,(23,34)}$  در حوزه بسامد و (ب) کرولت پیش‌گفته در حوزه مکان.

(generalized cross validation), SURE (Stain's unbiased risk estimate), L Curve, Discrepancy principle اشاره کرد. این روش‌ها را می‌توان به دو دسته روش‌های بر پایه اطلاعات نوفه مانند SURE و روش‌های بر پایه تغییرات اجزای سمت راست معادله (۱)، مانند GCV، تقسیم کرد. توانایی پاسخ‌گویی این روش‌ها متأثر از چندین پارامتر است که از جمله آنها می‌توان به سطح نوفه، همگرایی روش‌ها، داده‌های ورودی و همواری اجزای سمت راست معادله (۱)، اشاره کرد.

همان‌گونه که اشاره شد، در این مسئله از تبدیل کرولت استفاده شده است که این موضوع سبب ایجاد افزونگی در مسئله می‌شود. منظور از افزونگی، زیاد شدن تعداد پارامترهای داده ورودی تحت این تبدیل است. علت این موضوع به تلاش تبدیل کرولت در پوشش زاویه‌ای و بسامدی گسترده باز می‌گردد. این نکته باعث می‌شود که بسیاری از روش‌های معمول در معرفی یک مقدار بهینه برای پارامتر منظم‌ساز دچار ضعف شوند. یکی از روش‌های بسیار پُرکاربرد روش GCV است. در حالتی که خروجی مسئله بازسازی را بتوان به صورت اعمال یک تبدیل خطی بر داده ورودی،  $y \in R^{m \times 1}$ ، در نظر گرفت، این روش بسیار کارآمد است. ولی در حالتی که مسئله به صورت تبدیل غیر خطی باشد بایستی از نسخه غیر خطی آن، NGCV استفاده کرد. فرمول‌بندی عرضه شده برای

از نظر ریاضی رابطه بین کرولت مادر و کرولت‌های در مقیاس  $2^{-j}$  به صورت زیر است:

$$\Psi_{j,l,k} = \Psi_j(R_{\theta_l}(x - x_k^{j,l})) \quad (3)$$

که  $R$  ماتریس دوران و  $x_k^{j,l} = R_{\theta_l}^{-1}(k_1 2^{-j}, k_2 2^{-j/2})$  مقدار  $j$  با توجه به تصویر اولیه به دست می‌آید، زیرنویس  $l$  نیز مربوط به تغییرات زاویه است به صورتی که  $k = (k_1, k_2) \in Z^2$  و  $\theta_l = 2\pi \cdot 2^{-\lfloor j/2 \rfloor} l$ ،  $l = 0, 1, 2, \dots$  مکان است. در شکل ۲ می‌توان یک کرولت و معادل آن در حوزه بسامد را مشاهده کرد.

ضرایب کرولت نیز از ضرب داخلی المان‌های تصویر  $f$  یا کرولت  $\Psi_{j,l,k}$  به دست می‌آیند:

$$c_{j,l,k} = \langle f, \Psi_{j,l,k} \rangle = \int f(x) \bar{\Psi}_{j,l,k}(x) dx \quad (4)$$

### ۳-۲ انتخاب پارامتر منظم‌سازی

در حل مسائل فرومعین براساس منظم‌سازی، یکی از اصلی‌ترین قدم‌ها پیدا کردن بهترین مقدار برای پارامتر منظم‌سازی است. مقدار این پارامتر تأثیر بسیار زیادی بر جواب نهایی حاصل از معادله (۱) خواهد داشت و در نتیجه انتخاب روشی که بتواند بهینه‌ترین مقدار را معرفی کند بسیار مهم است. از جمله روش‌های مرسوم که در این راستا به کار برده می‌شود می‌توان به روش‌هایی مثل GCV

نیز نیازمند محاسبه مقدار ژاکوبی، خروجی برآورد شده نسبت به داده ورودی هستیم. بالانویس  $H$  معرف عملگر ارمیتی است. مانند روش NGCV با به دست آوردن  $\hat{x}(\tau)$  به ازای  $\tau$  می توان مقدار WSURE را بر حسب این پارامتر رسم کرد و کمینه کننده آن را به مثابه پارامتر منظم ساز مناسب معرفی کرد. در ادامه خواهیم دید که این روش جواب های بسیار قابل قبول تری نسبت به دیگر روش ها به دست می دهد.

### ۳ اعمال روش ها بر ثبت لرزه ای

تاکنون روش های موجود برای حل رابطه (۱) از تابع هایی استفاده می کرده اند که در جدول ۱ آورده شده اند. با معرفی تابع پتانسیل کلی (غلامی و حسینی، ۲۰۱۱)، رابطه (۲)، می توان بررسی جامع تری در حل مسئله درونیابی و بازسازی ثبت های لرزه ای داشت. برای به دست آوردن یک چارچوب به منظور حل مسئله درونیابی داده لرزه ای، ابتدا نیازمندیم که بهترین تابع پتانسیل و مناسب ترین الگوریتم تولید پارامتر منظم سازی را تعیین کنیم. بدین منظور این مسئله با استفاده از تابع کلی  $\varphi_q^p(x)$  روی یک ثبت لرزه ای مصنوعی با نسبت سیگنال به نوفه ۲۰ دسی بل و با ابعاد  $512 \times 512$  مورد بررسی قرار گرفت. با حذف تصادفی بیش از ۶۰٪ ردلرزه های ثبت پیش گفته، یک نسخه ناکامل از ثبت مورد نظر حاصل می شود که در حکم ورودی و ثبت برداشت شده ناقص در عملیات، شکل ۳، وارد الگوریتم درونیابی می شود. این الگوریتمی است با هدف بازیابی و بازسازی ردلرزه ها مفقود شده در ثبت. برای حل معادله (۱) از یک الگوریتم بازگشتی شکافتی جلورونده-عقب رونده (forward-backward splitting recursion) استفاده می شود (غلامی و حسینی، ۲۰۱۱). از مقدار سیگنال به نوفه، در حکم ملاکی در تشخیص بهینه ترین مقدار برای  $p$  و  $q$  و پارامتر منظم ساز بهره گرفته شده است. نتایج به دست آمده، شکل ۴، بهینه ترین

این کمیت به صورت معادله (۵) است (رامنی و همکاران، ۲۰۱۲):

$$NGCV(\tau) = \frac{m^{-1} \|y - A\hat{x}(\tau)\|_2^2}{(1 - m^{-1} \text{tr}\{AJ(\hat{x}(\tau), y)\})^2} \quad (5)$$

با به دست آوردن  $\hat{x}(\tau)$  به ازای پارامتر منظم ساز  $\tau$  می توان مقدار NGCV را بر حسب این پارامتر رسم کرد. پارامتر منظم ساز مناسب منجر به کمینه شدن مقدار NGCV خواهد شد. در رابطه بالا  $J(\hat{x}, y) \in R^{n \times m}$  بیانگر مقدار ژاکوبی خروجی برآورد نسبت به داده ورودی است. در مخرج کسر نیازمند محاسبه مقدار ردلرزه ای  $AJ(\hat{x}, y)$  هستیم. در ادامه خواهیم دید که به علت افزونگی زیاد مسئله، این روش نیز قادر به عرضه مقداری بهینه برای پارامتر منظم ساز نیست. پیرو این مشکل و پاسخ گو نبودن NGCV، از روش SURE استفاده می کنیم، روشی که براساس اطلاعات سطح نوفه است.

به بیان ساده می توان بهترین پارامتر منظم سازی را آن پارامتری معرفی کرد که به ازای آن کمترین مقدار مربعات خطا (MSE) را داشته باشیم. در واقع می توان MSE را تابعی از پارامتر منظم ساز بیان کرد:  $MSE(\tau) = \|x - \hat{x}(\tau)\|_2^2$  ولی به علت نبود دسترسی به تصویر اولیه  $x$  در عمل، این روش کاملاً متنفی است. ولی می توان با تعریف عباراتی که برآوردی هستند از مقدار MSE، این مشکل را حل کرد. روش SURE در واقع برآوردی است از مقدار کمترین مربعات خطا برای حالتی که میزان انحراف معیار،  $\sigma$ ، قابل محاسبه است. این روش برای حالتی که با یک مسئله فرومعین روبه رو هستیم به صورت وزن دار، WSURE، تعریف شده است (رامنی و همکاران، ۲۰۱۲) و به صورت معادله (۶) فرمول بندی می شود:

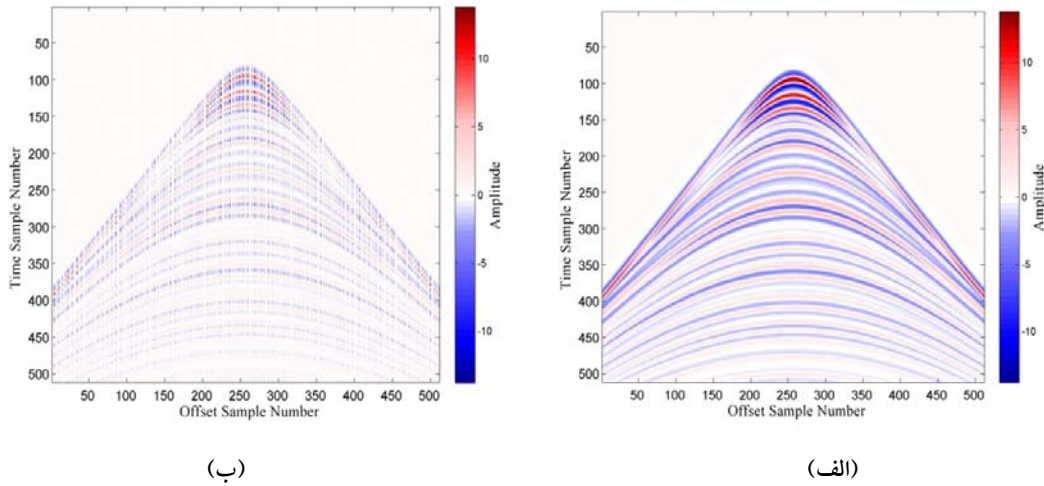
$$WSURE(\tau) = m^{-1} \|y - A\hat{x}(\tau)\|_w^2 - \frac{\sigma^2}{m} \text{tr}\{W\} + \frac{2\sigma^2}{m} \text{tr}\{W A J(\hat{x}(\tau), y)\} \quad (6)$$

که  $\|x\|_w^2 = x^H W x$  و ماتریس وزن دهی است. در اینجا

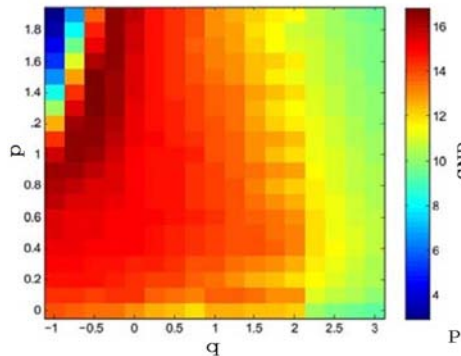
چند تابع پتانسیل مشاهده کرد. نزدیک‌ترین تقریب پارامتره روش WSURE به‌دست آمده است و بیشترین مقدار نسبت سیگنال به نوفه نیز از تابع پتانسیل بهینه‌ای که در بالا به آن اشاره شد کسب شده است. برای به‌دست آوردن این مقدار از تعریف  $SNR = 20 \log_{10} \left( \frac{\|x\|_2}{\|x - \hat{x}\|_2} \right)$  استفاده شده است که صورت کسر بیانگر نرْم ۲ داده اولیه و مخرج کسر بیانگر نرْم ۲ تفاضل داده اولیه و خروجی است. در اینجا پارامترهای منظم‌سازی ایدئال برای بیشترین نسبت سیگنال به نوفه، که با دایره مشخص شده‌اند، براساس جست‌وجوی گسترده‌ای از مقادیر ممکن برای پارامتر حاصل به‌دست آمده‌اند.

مقادیر  $(p, q)$  را که سبب بهترین بازسازی می‌شوند، تقریباً  $(1/4, -0.4)$  معرفی می‌کند که تابع پتانسیل معادل آن  $\varphi(x) = (1/q)(1 - (|x|^p + 1)^{-q})$  است. در اینجا برای افزایش دقت بازسازی، مقدار پارامتر منظم‌سازی را در یک بازه محدود قرار می‌دهیم و برای هر  $p, q$  خاص مسئله را به‌ازای این مقادیر پارامتر حل می‌کنیم. سپس بهترین پارامتر را مقداری در نظر می‌گیریم که به‌ازای آن بیشترین مقدار سیگنال به نوفه حاصل می‌شود.

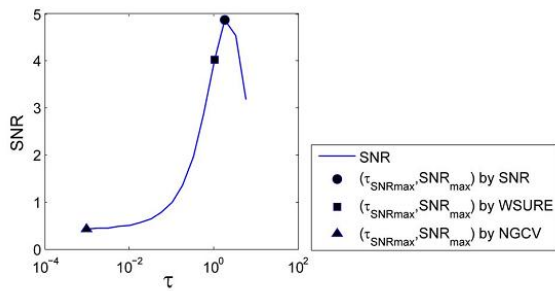
برای بررسی الگوریتم‌های پیش‌گفته در پیدا کردن مقدار بهینه پارامتر منظم‌سازی مجدداً از ثبت‌های لرزه‌ای مصنوعی آغشته به نوفه بهره می‌بریم. در شکل‌های ۵ و ۶ می‌توان نسبت سیگنال به نوفه ثبت بازسازی شده را برای



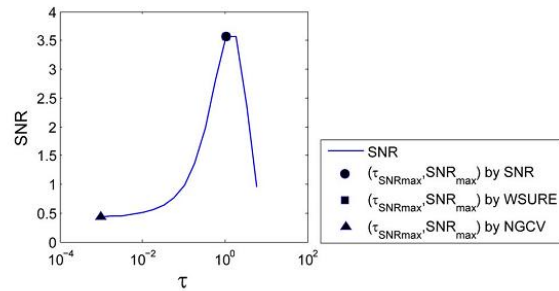
شکل ۳. (الف) ثبت لرزه‌ای اولیه آغشته به نوفه است و در (ب) بیش از ۶۰٪ ردلرزه‌های آن حذف شده است.



شکل ۴. تغییرات مقدار SNR ثبت بازسازی شده نسبت به ثبت اولیه، به‌ازای مقادیر متفاوت  $p$  و  $q$  برای تابع  $\varphi(x)$ .



(ب)



(الف)

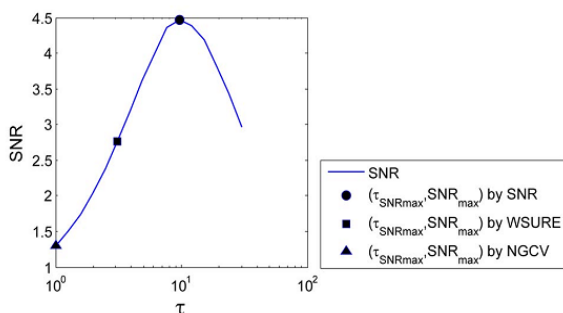
شکل ۵. مقادیر پیشنهادی  $(\tau_{SNR\ max}, SNR_{\ max})$  برطبق خروجی‌های SNR, WSURE, NGCV برای  $\phi_1^1$  (الف) و  $\phi_{-0.4}^{1.4}$  (ب).

با فاصله ۱۵ متر و نمونه برداری زمانی آن با فاصله زمانی ۴ میلی ثانیه صورت گرفته است. در شکل ۸-ب می توان نسخه نمونه برداری شده مقطع اولیه را مشاهده کرد که ۵۰٪ ردلرزه‌ای آن به صورت تصادفی حذف شده‌اند. در شکل ۸-پ مقطع بازسازی شده با استفاده از تابع پتانسیل  $\phi_{1.5}^{1.5}$  آورده شده است و در نهایت در شکل ۸-ت نیز می توان تفاضل مقطع اولیه و بازسازی را مشاهده کرد. لازم به ذکر است که علت استفاده از این تابع خاص نشان دادن توانایی الگوریتم در استفاده از تابع‌هایی است که نه محدب‌اند و نه مقعر، یه بیان دیگر، می توان این گونه مسائل را با استفاده از این تابع کلی براساس طیف وسیعی از تابع‌های پتانسیل حل کرد و به بهترین نتیجه رسید که در این مسئله، تابع  $\phi_{1.5}^{1.5}$  منجر به جوابی قابل قبول می شود.

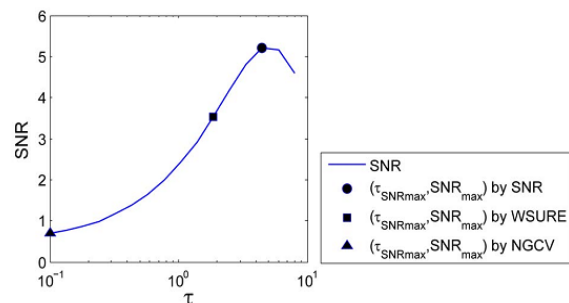
قابل ذکر است که در شکل ۵-الف مقادیر پیشنهادی برای پارامتر منظم سازی از راه WSURE و SNR برهم منطبق‌اند ولی نسبت به حالت مربوط به تابع پتانسیل بهینه، مقدار کمتری برای نسبت سیگنال به نوفه دارند.

بازسازی ثبت پیش گفته با بهینه ترین تابع پتانسیل و پارامتر منظم ساز حاصل از روش WSURE را در شکل ۷-الف، می توان مشاهده کرد. در شکل ۷-ب همین فرایند برای یک تابع پتانسیل دیگر نیز تکرار شده است. همان گونه که دیده می شود تابع پتانسیل بهینه معرفی شده، نسبت سیگنال به نوفه بیشتری را نشان داده است.

همین مراحل را برای بازسازی داده‌های واقعی نیز می توان اجرا کرد. در شکل ۸-الف یک مقطع چشمه مشترک آورده شده است. نمونه برداری مکانی این مقطع



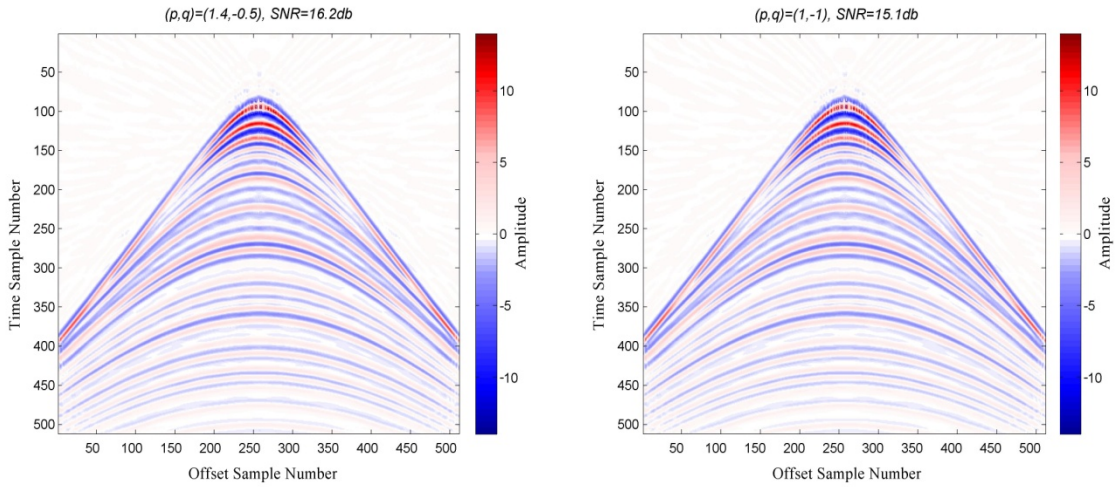
(ب)



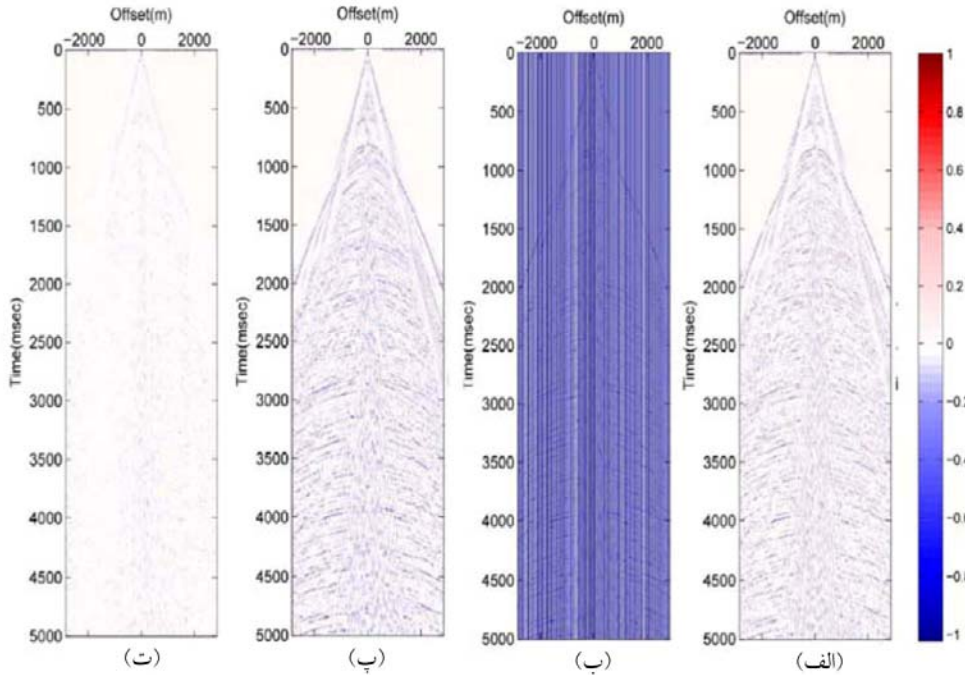
(الف)

شکل ۶. مقادیر پیشنهادی  $(\tau_{SNR\ max}, SNR_{\ max})$  برطبق خروجی‌های SNR, WSURE, NGCV برای  $\phi_0^1$  (الف) و  $\phi_1^1$  (ب).





شکل ۷. بازسازی شکل ۳-ب، با استفاده از تابع، (الف)  $\varphi_{-1}^1$  و  $SNR=15.1db$  و تابع پتانسیل، (ب)  $\varphi_{-0.5}^{1.4}$  و  $SNR=16.2db$ .



شکل ۸. بازسازی یک مقطع چشمه مشترک واقعی. (الف) مقطع اولیه، (ب) مقطع ۵۰٪ نمونه‌برداری شده، (پ) مقطع بازسازی شده و (ت) تفاضل بین مقطع اولیه بازسازی شده.

#### ۴ نتیجه‌گیری

روش WSURE را می‌توان روشی برای یافتن پارامتر منظم‌سازی برای این‌گونه مسائل قرار داد. این روش یافتن پارامتر منظم‌ساز به علت حساسیت به میزان سیگنال به نوفه، روش کاملاً ایده‌آلی نیست و البته از طرفی هم به علت افزونگی زیاد مسئله و به‌شدت فرومعی بودن آن

با توجه به نتایج می‌توان دید که الگوریتم‌های بازسازی ثبت‌های لرزه‌ای که امروزه اغلب براساس تابع‌های پتانسیل نرّم ۱ حل می‌شوند، با استفاده از تابع پتانسیل‌های جدیدتر می‌توانند بسیار بهینه و دقیق‌تر جواب دهند. علاوه بر این،

- 1999, Reconstruction of band-limited signals, irregularly sampled along spatial direction, *Geophysics*, **64**, 524-538.
- Golami, A. and Hosseini, S. M., 2011, A general framework for sparsity based denoising and inversion, *IEEE Trans, signal processing*, **59**(11), 5202-5211.
- Ramni, S., Lio, Zh., Rosen, J., Nielsen, J. F. and Fessler, J. A., 2012, Regularization parameter selection for nonlinear iterative image restoration and MRI reconstruction using GCV and SURE-Based methods, *IEEE Trans, Image processing*, **21**(8), 3659-3672.
- Sacchi, M. D. and Ulrych, T. J., 1996, Estimation of the discrete Fourier transform a linear inversion approach, *Geophysics*, **61**, 1128-1136.
- Schwab, M., 1993, Shot gather continuation, Technical Report, 77, SEP.
- Spitz, S., 1991, Seismic trace interpolation in the f-x domain, *Geophysics*, **56**, 785-794.
- Starck, J. L., Candes, E. J. and Donoho, D. L., 2002, The curvelet transform for image denoising, *IEEE Trans, Image processing*, **11**(6), 670-684.
- Stovas, A. M. and Fomel, S. B., 1993, Kinematically equivalent DMO operators, *Russian Geology and Geophysics*, **37**, 102-113.

(مسئله درونیابی یک مسئله فرومعیین است و افزودگی تبدیل کرولت فرومعیین بودن مسئله را شدت می بخشد) روش مناسب تری نیز تعریف نشده است. امروزه با بهره بردن از این روش بازسازی و درونیابی و به کارگیری اصول نظریه نمونه برداری فشرده در طراحی عملیات لرزه‌ای، می توان برداشت‌های تُنک‌تر و در نتیجه ارزان‌تر را عملی ساخت، بدون اینکه اطلاعات زیادی از زمین را از دست بدهیم.

#### مراجع

- غلامی، ع.، ۱۳۸۸، منظم‌سازی مسائل بدوضع بر مبنای تُنکی، رساله دکتری، موسسه ژئوفیزیک دانشگاه تهران.
- Candes, E., Demanet, L., Donoho, D. and Ying, L., 2005, Fast discrete curvelet transforms, Department of Statistics, Stanford University, Stanford, CA 94305, <http://authors.library.caltech.edu>.
- Claerbout, J. F., 1992, Earth soundings analysis: Processing versus inversion, Blackwell Scientific publishing, Hoboken, New Jersey.
- Duijndam, A. J. W. and Schonewille, M. A.,